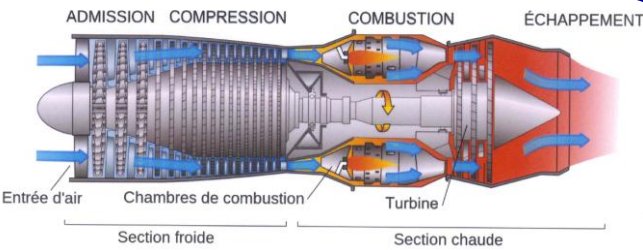


Chapitre V

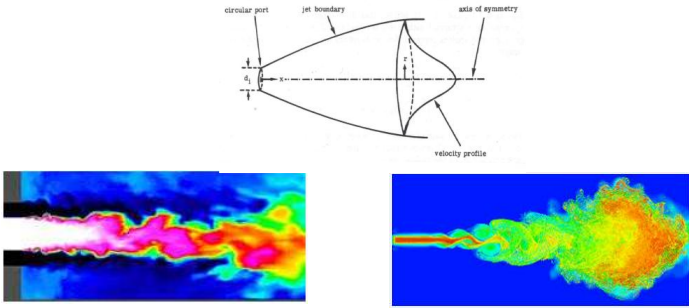
Flammes de Diffusion de Type Jet

1

Turboréacteur:

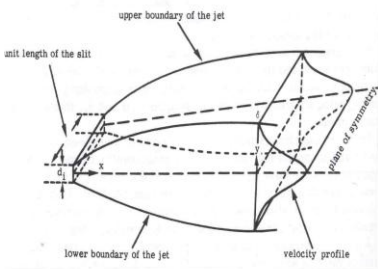


Jet issu d'une buse circulaire en régime turbulent

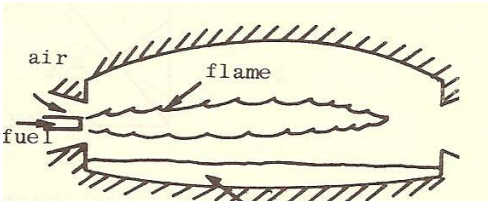


2

Jet issu d'une buse rectangulaire

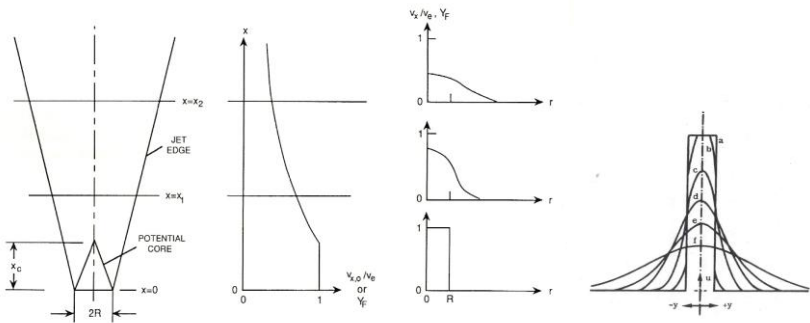


Four industriel avec un seul orifice pour injection du combustible liquide ou de gaz



3

Profils des variables :  $\frac{u}{u_m}$ ,  $\frac{T - T_\infty}{T_m - T_\infty}$  et  $\frac{Y_F}{Y_{Fm}}$



Cœur potentiel,  $x < x_c$

Expansion,  $x > x_c$

4

**Jet issu d'une buse rectangulaire de type couche limite non réactif - 2D**

- 4 Hypothèses
- 1)  $\rho = \text{constante}$

2)  $\Delta Y_1$

3)  $Sc = \nu / D_{ab} \equiv 1$

4)  $\frac{\partial^2}{\partial y^2} \gg \frac{\partial^2}{\partial x^2}$

(loi de Fick)

(viscosité cinématique /diffusivité des espèces)

(diffusion radiale importante)

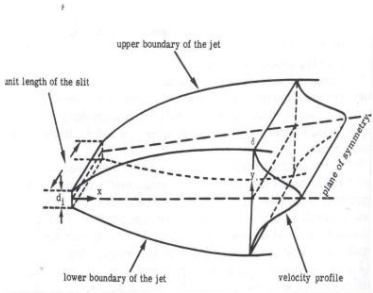
Equation de conservation de la masse

$$\frac{\partial u}{\partial x} + \frac{\partial v}{\partial y} = 0$$

Conservation de la quantité de mouvement

$$u \frac{\partial u}{\partial x} + v \frac{\partial u}{\partial y} = (\nu + \nu_t) \frac{\partial^2 u}{\partial y^2}$$

$$P = P_\infty$$

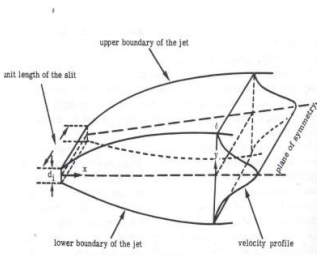


5

Viscosité turbulente :  $\nu_t = C' \delta^2 \left| \frac{\partial u}{\partial y} \right|$

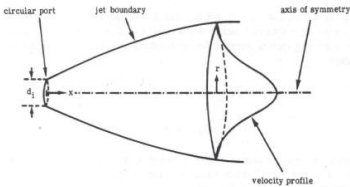
Jet rectangulaire :

$$C' = 0.0185$$



Jet circulaire :

$$C' = 0.0128$$



6

Conservation de l'énergie

$$u \frac{\partial}{\partial x} (T - T_\infty) + v \frac{\partial}{\partial y} (T - T_\infty) = (\alpha + \alpha_r) \frac{\partial^2}{\partial y^2} (T - T_\infty)$$

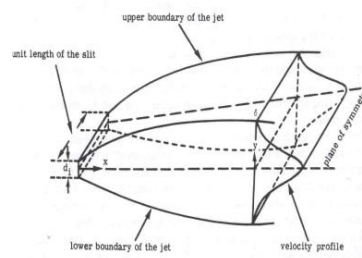
Conservation des espèces chimiques

$$u \frac{\partial Y_F}{\partial x} + v \frac{\partial Y_F}{\partial y} = D_{AB} \frac{\partial^2 Y_F}{\partial y^2}$$

$$Y_o = 1 - Y_F$$

7

Conditions limites



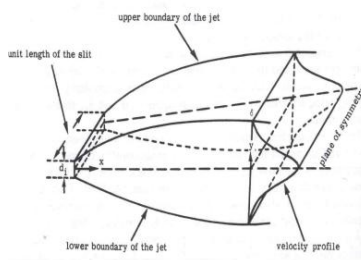
Sur l'axe du jet ( $y=0$ )

$$0 \leq x \leq \infty, \quad v = 0, \quad \left. \begin{array}{l} \partial u / \partial y \\ \partial(T - T_\infty) / \partial y \\ \partial Y_F / \partial y \end{array} \right\} = 0$$

Loin de l'axe ( $y \geq \delta$ ) (l'air est au repos)

$$0 \leq x \leq \infty, \quad \left. \begin{array}{l} u \\ T - T_\infty \\ Y_F \end{array} \right\} = 0, \quad \left. \begin{array}{l} \partial u / \partial y \\ \partial(T - T_\infty) / \partial y \\ \partial Y_F / \partial y \end{array} \right\} = 0$$

8



Loin de la tuyère de sortie ( $x \rightarrow \infty$ )

$$\left. \begin{array}{l} u \\ (T - T_\infty) \\ Y_F \end{array} \right\} = 0, \quad \left. \begin{array}{l} \partial u / \partial y \\ \partial (T - T_\infty) / \partial y \\ \partial Y_F / \partial y \end{array} \right\} = 0$$

À la sortie de la tuyère ( $x=0$ )

$$0 \leq y \leq d/2, \quad u = u_i, \quad T = T_i, \quad Y_F = 1$$

9

### Solutions analytiques intégrales

$$u \frac{\partial u}{\partial x} = -u \frac{\partial v}{\partial y}$$

$$\frac{\partial(vu)}{\partial y} = u \frac{\partial v}{\partial y} + v \frac{\partial u}{\partial y}$$

$$v \frac{\partial u}{\partial y} = u \frac{\partial u}{\partial x} + \frac{\partial(uv)}{\partial y}$$

Après quelques substitutions et mises en formes

$$u \frac{\partial u}{\partial x} + v \frac{\partial u}{\partial y} = (v + v_i) \frac{\partial^2 u}{\partial y^2} \Rightarrow \frac{\partial u^2}{\partial x} + \frac{\partial(uv)}{\partial y} = (v + v_i) \frac{\partial^2 u}{\partial y^2}$$

10

Intégration de  $y=0$  à  $y = \delta$  et  $y=0$  à  $y = \delta/2$

$$\frac{\partial u}{\partial x} + \frac{\partial v}{\partial y} = 0 \Rightarrow$$

$$v_{\delta} = \frac{d}{dx} \int_0^{\delta} u dy \quad (\text{opposée à } y)$$

$$v_{\delta/2} = \frac{d}{dx} \int_0^{\delta/2} u dy$$

$$\frac{\partial u^2}{\partial x} + \frac{\partial(uv)}{\partial y} = (v + v_i) \frac{\partial^2 u}{\partial y^2} \Rightarrow$$

$$\frac{d}{dx} \int_0^{\delta} u^2 dy + [uv]_{\delta} = \left[ (v + v_i) \frac{\partial u}{\partial y} \right]_{\delta}$$

$$\frac{d}{dx} \int_0^{\delta/2} u^2 dy + [uv]_{\delta/2} = \left[ (v + v_i) \frac{\partial u}{\partial y} \right]_{\delta/2}$$

11

Conditions aux limites :  $y = \delta \quad u = 0$  et  $\frac{\partial u}{\partial y} = 0$

Quantité de mouvement du jet en fonction de  $x$

$$\frac{d}{dx} \int_0^{\delta} u^2 dy = 0 \Leftrightarrow \frac{d}{dx} \int_0^{\delta} \rho u^2 dy = 0$$

Quantité de mouvement initiale, propriétés à la sortie de la tuyère:

$$\int_0^{\delta} u^2 dy = \frac{u_i^2 d_i}{2}$$

12

Conservation de l'énergie

$$\frac{\partial u(T - T_\infty)}{\partial x} + \frac{\partial v(T - T_\infty)}{\partial y} = u \frac{\partial(T - T_\infty)}{\partial x} + v \frac{\partial(T - T_\infty)}{\partial y} + (T - T_\infty) \left( \frac{\partial u}{\partial x} + \frac{\partial v}{\partial y} \right)$$

$$\frac{\partial u(T - T_\infty)}{\partial x} + \frac{\partial v(T - T_\infty)}{\partial y} = (\alpha + \alpha_r) \frac{\partial^2 (T - T_\infty)}{\partial y^2}$$

Intégration de  $y=0$  à  $y = \delta$

$$\frac{d}{dx} \int_0^\delta u(T - T_\infty) dy + [v(T - T_\infty)]_0^\delta = \left[ (\alpha + \alpha_r) \frac{\partial(T - T_\infty)}{\partial y} \right]_0^\delta$$

Conditions limites :  $y = \delta$   $(T - T_\infty) = 0$  et  $\frac{\partial(T - T_\infty)}{\partial y} = 0$

$$\frac{d}{dx} \int_0^\delta u(T - T_\infty) dy = 0 \Leftrightarrow \frac{d}{dx} \int_0^\delta \rho C_p u(T - T_\infty) dy = 0$$

Energie initiale à la tuyère:  $\int_0^\delta u(T - T_\infty) dy = u_i (T_i - T_\infty) \frac{d}{2}$

13

Conservation de la concentration du combustible

$$\frac{\partial u Y_F}{\partial x} + \frac{\partial v Y_F}{\partial y} = D_{AB} \frac{\partial^2 Y_F}{\partial y^2}$$

Intégration de  $y=0$  à  $y = \delta$

$$\frac{d}{dx} \int_0^\delta u Y_F dy + [v Y_F]_0^\delta = \left[ D_{AB} \frac{\partial Y_F}{\partial y} \right]_0^\delta$$

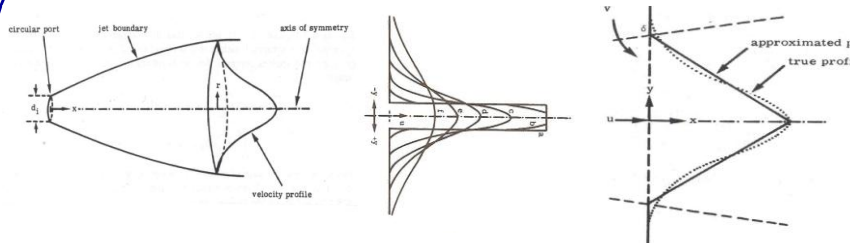
Conditions limites :  $y = \delta$   $Y_F = 0$  et  $\frac{\partial Y_F}{\partial y} = 0$

$$\frac{d}{dx} \int_0^\delta u Y_F dy = 0 \Leftrightarrow \frac{d}{dx} \int_0^\delta \rho u Y_F dy = 0$$

Combustible pur à la tuyère :  $\int_0^\delta u Y_F dy = u_i Y_{F_i} \frac{d}{2} = u_i \frac{d}{2}$

14

Forme intrinsèque du profil de vitesse axiale issu d'un jet



Principe de similitude

$$\frac{u(x, y)}{u_m(x)} = 1 - \frac{y}{\delta} \rightarrow u(x, y) = \left(1 - \frac{y}{\delta}\right) u_m(x) \quad 0 \leq |y| \leq \delta$$

$$\frac{d u_m(x)}{dx} \Rightarrow \int \frac{d u_m(x)}{dx} \Rightarrow \text{solution analytique}$$

15

Forme intrinsèque du profil de vitesse axiale

$$\frac{u}{u_m} = 1 - \frac{y}{\delta} \rightarrow u = \left(1 - \frac{y}{\delta}\right) u_m \quad 0 \leq |y| \leq \delta$$

Conservation de la masse

$$v_\delta = \frac{d}{dx} \int_0^\delta u dy \Rightarrow v_\delta = \frac{d}{dx} \left( u_m \frac{\delta}{2} \right)$$

$$v_{\delta/2} = \frac{d}{dx} \int_0^{\delta/2} u dy \Rightarrow v_{\delta/2} = \frac{d}{dx} \left( 3 u_m \frac{\delta}{8} \right)$$

Quantité de mouvement

$$\frac{d}{dx} \int_0^\delta u^2 dy = 0 \Rightarrow \frac{d}{dx} (u_m^2 \delta) = 0$$

$$\frac{d}{dx} \int_0^{\delta/2} u^3 dy + [uv]_{\delta/2} = \left[ (v + v_i) \left| \frac{\partial u}{\partial y} \right| \right]_{\delta/2} \Rightarrow \frac{7}{24} \frac{d}{dx} (u_m^2 \delta) + u_m \frac{v_{\delta/2}}{2} = (v + v_i) \frac{u_m}{\delta}$$

16



Quelques substitutions et mises en formes

$$1) \quad v_s = \frac{d}{dx} \left( u_m \frac{\delta}{2} \right)$$

$$2) \quad u_m^2 \delta = \frac{u_i^2 d_i}{2} \quad \Rightarrow \quad \delta = \frac{u_i^2 d_i}{2 u_m^2} \quad (x=0, u_m = u_i, \delta = d_i/2)$$

$$3) \quad \frac{3}{16} \frac{d}{dx} (u_m \delta) = \frac{(v + v_s)}{\delta}$$

Expression différentielle en régime laminaire,  $v_i = 0$ , éliminer  $\delta$

$$\frac{d}{dx} (1/u_m) = \frac{64v}{3 u_i^4 d_i^2} u_m^2$$

17

Intégration :

$$\frac{1}{3 u_m^3} = \frac{64v}{3 u_i^4 d_i^2} x + C$$

Conditions aux limites :  $x=0, u_m=u_i$  et  $\delta = d_i/2$

$$\frac{u_m}{u_i} = \left[ 1 + \frac{64v x}{u_i d_i} \right]^{-1/3} \quad \Leftrightarrow \quad \frac{u_m}{u_i} = \left[ 1 + \frac{64 x}{Re_i d_i} \right]^{-1/3} \quad \text{avec} \quad Re_i \equiv \frac{u_i d_i}{\nu}$$

$$u_m^2 \delta = \frac{u_i^2 d_i}{2} \quad \Rightarrow \quad \delta$$

$$v_s = \frac{d}{dx} \left( u_m \frac{\delta}{2} \right) \quad \Rightarrow \quad v_s$$

$$\frac{u}{u_m} = 1 - \frac{y}{\delta} \quad \Rightarrow \quad \frac{u}{u_i}$$

18

Epaisseur de la couche limite

$$\frac{2\delta}{d_i} = \left[ 1 + \frac{64}{\text{Re}_i} \frac{x}{d_i} \right]^{2/3}$$

Vitesse d'expansion ou d'entraînement

$$\frac{v_\delta}{u_i} = \frac{16}{3\text{Re}_i} \left[ 1 + \frac{64}{\text{Re}_i} \frac{x}{d_i} \right]^{-2/3}$$

Vitesse axiale

$$\frac{u}{u_i} = \left[ 1 + \frac{64}{\text{Re}_i} \frac{x}{d_i} \right]^{-1/3} \left[ 1 - 2 \left( \frac{y}{d_i} \right) \left( 1 + \frac{64}{\text{Re}_i} \frac{x}{d_i} \right)^{-2/3} \right]$$

Débit massique (kg/s)

$$\dot{W} = 2 \int_0^{\delta} \rho u dy \Rightarrow \frac{\dot{W}}{\rho u_i d_i} = 1 + 0.25 \left[ 1 + \frac{64}{\text{Re}_i} \frac{x}{d_i} \right]^{1/3}$$

19

Loin de la sortie d'un jet, soit  $\frac{64}{\text{Re}_i} \frac{x}{d_i} \gg 1$

Epaisseur de la couche limite :  $\frac{2\delta}{d_i} = \left( \frac{64x}{\text{Re}_i d_i} \right)^{2/3}$

Vitesse d'expansion ou d'entraînement :  $\frac{v_\delta}{u_i} = \left( \frac{16}{3\text{Re}_i} \right) \left( \frac{\text{Re}_i d_i}{64x} \right)^{2/3}$

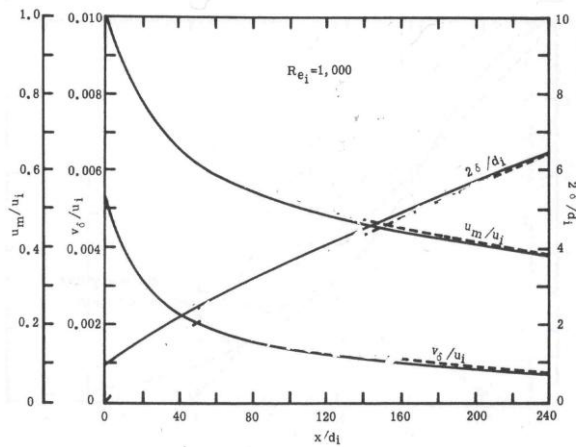
Vitesse axiale :  $\frac{u}{u_i} = \left( \frac{\text{Re}_i d_i}{64x} \right)^{1/3} \left[ 1 - 2 \left( \frac{y}{d_i} \right) \left( \frac{\text{Re}_i d_i}{64x} \right)^{2/3} \right]$

Débit massique (kg/s) :  $\frac{\dot{W}}{\rho u_i d_i} = 1 + 0.25 \left[ \frac{64}{\text{Re}_i} \frac{x}{d_i} \right]^{1/3}$

20

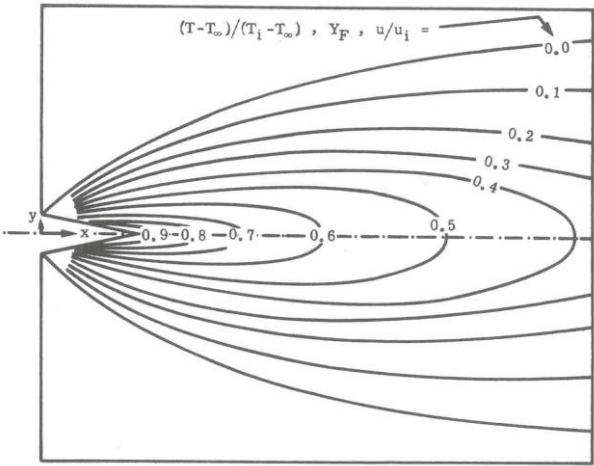
$\alpha = \nu = D \quad \text{et} \quad \frac{64 x}{\text{Re}_i d_i} \gg 1$

$$\frac{T - T_\infty}{T_i - T_\infty} = \frac{Y_F}{Y_{Fi}} = \frac{u}{u_i} = \left( \frac{\text{Re}_i d_i}{64 x} \right)^{1/3} \left[ 1 - 2 \left( \frac{y}{d_i} \right) \left( \frac{\text{Re}_i d_i}{64 x} \right)^{2/3} \right]$$



21

$$\frac{T - T_\infty}{T_i - T_\infty} = \frac{Y_F}{Y_{Fi}} = \frac{u}{u_i} = \left( \frac{\text{Re}_i d_i}{64 x} \right)^{1/3} \left[ 1 - 2 \left( \frac{y}{d_i} \right) \left( \frac{\text{Re}_i d_i}{64 x} \right)^{2/3} \right]$$



22

Ecoulement en régime turbulent

$$Re_i > 2000 \quad v_i \gg \nu \quad \text{et} \quad v_i = C' u_m \delta$$

$$\frac{3}{16} \frac{d}{dx} (u_m \delta) = \frac{(\nu + v_i)}{\delta} \quad \Rightarrow \quad \frac{3}{16} \frac{d}{dx} (u_m \delta) = C' u_m$$

$$u_m^2 \delta = \frac{u_i^2 d_i}{2}$$

$$-\frac{1}{u_m^3} d u_m^2 = \frac{32}{3} \frac{C'}{u_i^2 d_i} dx \quad \Rightarrow \quad u_m^{-2} = \frac{64}{3} \frac{C'}{u_i^2 d_i} x + C$$

Conditions aux limites :  $x=0, u_m=u_i$  et  $\delta = d_i/2$

23

Vitesse maximale sur l'axe :

$$\frac{u_m}{u_i} = \left[ 1 + \frac{64}{3} C' \frac{x}{d_i} \right]^{-1/2}$$

$$v_\delta = \frac{d}{dx} \left( u_m \frac{\delta}{2} \right) \quad \Rightarrow \quad v_\delta$$

$$u_m^2 \delta = \frac{u_i^2 d_i}{2} \quad \Rightarrow \quad \delta$$

$$\frac{u}{u_m} = 1 - \frac{y}{\delta} \quad \Rightarrow \quad \frac{u}{u_i}$$

24

Vitesse maximale sur l'axe :

$$\frac{u_m}{u_i} = \left[ 1 + \frac{64}{3} C' \frac{x}{d_i} \right]^{-1/2}$$

Epaisseur de la couche limite :

$$\frac{2\delta}{d_i} = \left[ 1 + \frac{64}{3} C' \frac{x}{d_i} \right]$$

Vitesse d'expansion ou d'entraînement :

$$\frac{v_s}{u_i} = \frac{8C'}{3} \left[ 1 + \frac{64}{3} C' \frac{x}{d_i} \right]^{-1/2}$$

Vitesse axiale

$$\frac{u}{u_i} = \left[ 1 + \frac{64}{3} C' \frac{x}{d_i} \right]^{-1/2} \left[ 1 - 2 \frac{y}{d_i} \left( 1 + \frac{64}{3} C' \frac{x}{d_i} \right)^{-1} \right]$$

25

### Jet issu d'une buse circulaire (2D) non réactif

Conservation de la masse

$$\frac{\partial ru}{\partial x} + \frac{\partial rv}{\partial r} = 0$$

Conservation de la quantité de mouvement

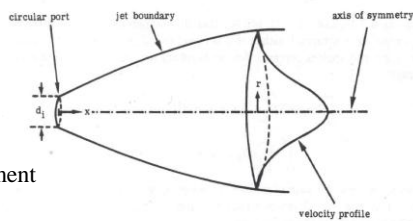
$$ru \frac{\partial u}{\partial x} + rv \frac{\partial u}{\partial r} = (v + v_i) \frac{\partial}{\partial r} \left( r \frac{\partial u}{\partial r} \right)$$

Conservation de l'énergie

$$ru \frac{\partial (T - T_\infty)}{\partial x} + rv \frac{\partial (T - T_\infty)}{\partial r} = (\alpha + \alpha_i) \frac{\partial}{\partial r} \left( r \frac{\partial (T - T_\infty)}{\partial r} \right)$$

Conservation des espèces chimiques

$$ru \frac{\partial Y_F}{\partial x} + rv \frac{\partial Y_F}{\partial r} = D_{AB} \frac{\partial}{\partial r} \left( r \frac{\partial Y_F}{\partial r} \right)$$



26

Intégration de  $r=0$  à  $r = \delta$

$$v_\delta = \frac{1}{\delta} \frac{d}{dx} \int_0^\delta r u dr$$

$$\frac{d}{dx} \int_0^\delta r u^2 dr = 0$$

$$\int_0^\delta 2\pi r \rho u C_p (T - T_\infty) dr = \pi d_i^2 \rho u C_p (T - T_\infty) / 4$$

$$\int_0^\delta 2\pi r \rho u Y_r dr = \pi d_i^2 \rho u Y_r / 4$$

Intégration de  $r=0$  à  $r = \delta/2$

$$v_{\delta/2} = \frac{2}{\delta} \frac{d}{dx} \int_0^{\delta/2} r u dr$$

$$\frac{d}{dx} \int_0^{\delta/2} r u^2 dr + [ruv]_{\delta/2} = \left[ (v + v_r) r \frac{\partial u}{\partial r} \right]_{\delta/2}$$

27

Forme intrinsèque du profil de vitesse axiale

$$\frac{u}{u_m} = 1 - \frac{y}{\delta} \rightarrow u = \left(1 - \frac{y}{\delta}\right) u_m \quad 0 \leq |y| \leq \delta$$

Vitesse axiale

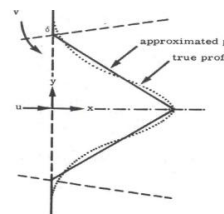
$$\frac{u}{u_m} = \left[1 + \frac{48}{Re_i} \frac{x}{d_i}\right]^{-1} \left[1 - 2\left(\frac{r}{d_i}\right) \left(1 + \frac{48}{Re_i} \frac{x}{d_i}\right)^{-1}\right]$$

Vitesse d'expansion

$$\frac{v_\delta}{u_m} = \left(\frac{4}{Re_i}\right) \left(1 + \frac{48}{Re_i} \frac{x}{d_i}\right)^{-1}$$

Epaisseur de la couche limite

$$\frac{2\delta}{d_i} = \left(1 + \frac{48}{Re_i} \frac{x}{d_i}\right) \quad Re_i = \frac{u_m d_i}{\nu}$$



28

Jet circulaire en régime turbulent ( $v_i \gg v$  et  $v_i = C' u_m \delta$ )

Vitesse axiale

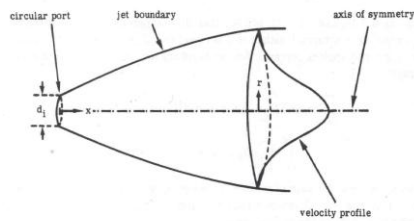
$$\frac{u}{u_i} = \left[ 1 + 24C' \frac{x}{d_i} \right]^{-1} \left[ 1 - \frac{2r}{d_i} \left( 1 + 24C' \frac{x}{d_i} \right)^{-1} \right]$$

Vitesse d'expansion

$$\frac{v_\delta}{u_i} = 2C' \left[ 1 + 24C' \frac{x}{d_i} \right]$$

Epaisseur de la couche limite

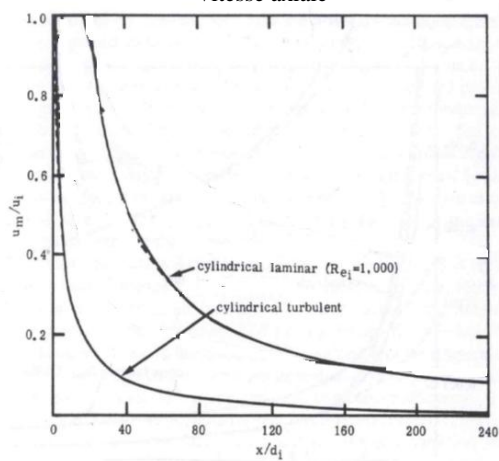
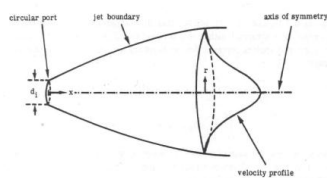
$$\frac{2\delta}{d_i} = \left[ 1 + 24C' \frac{x}{d_i} \right]$$



29

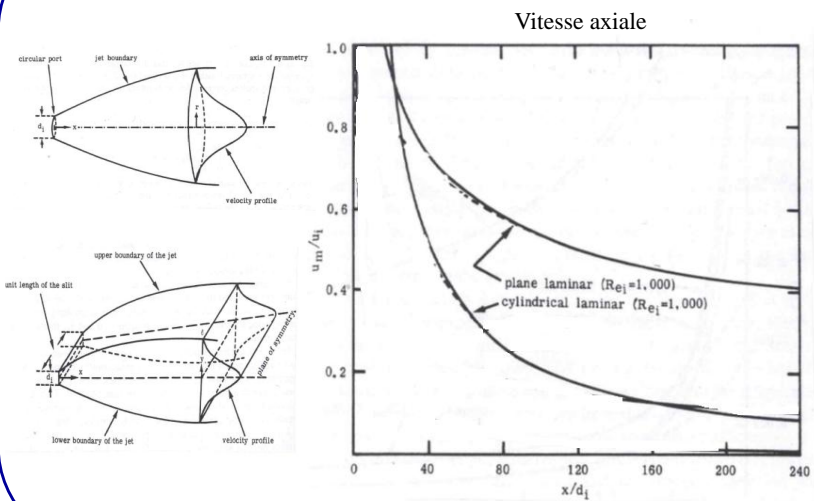
Comparaison entre un jet circulaire laminaire et celui turbulent

Vitesse axiale



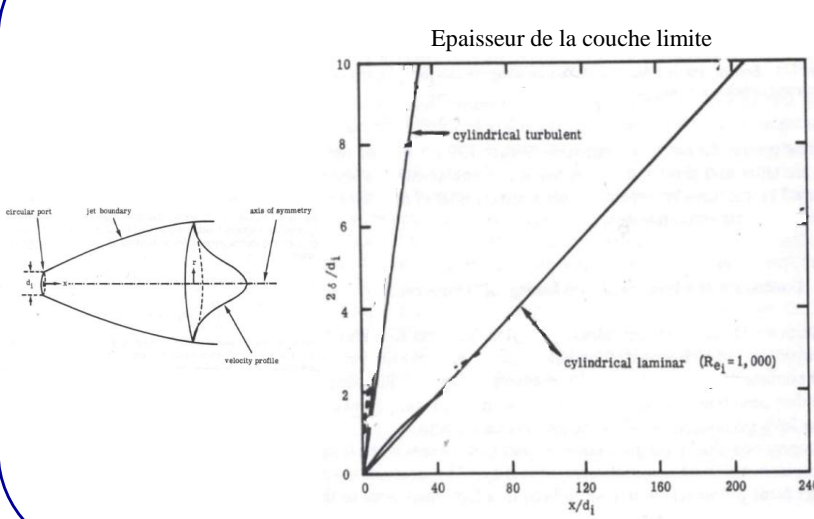
30

Comparaison entre un jet circulaire et celui rectangulaire en régime laminaire



31

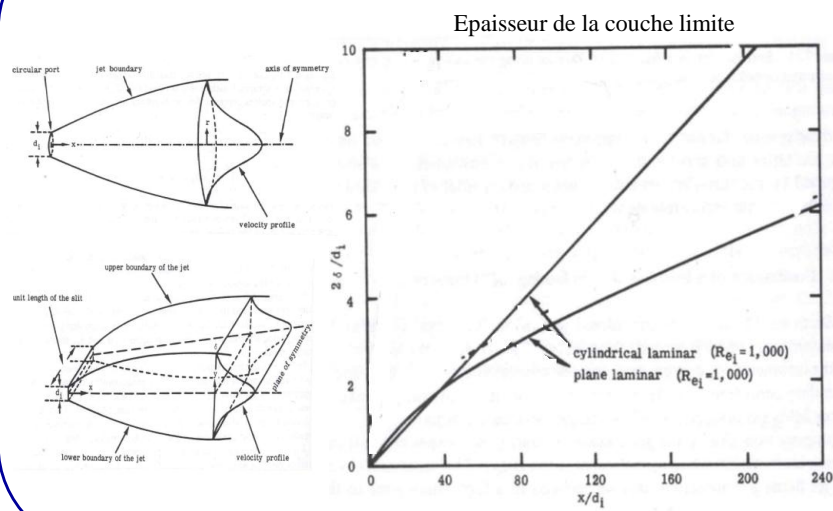
Comparaison entre un jet circulaire laminaire et celui turbulent



32

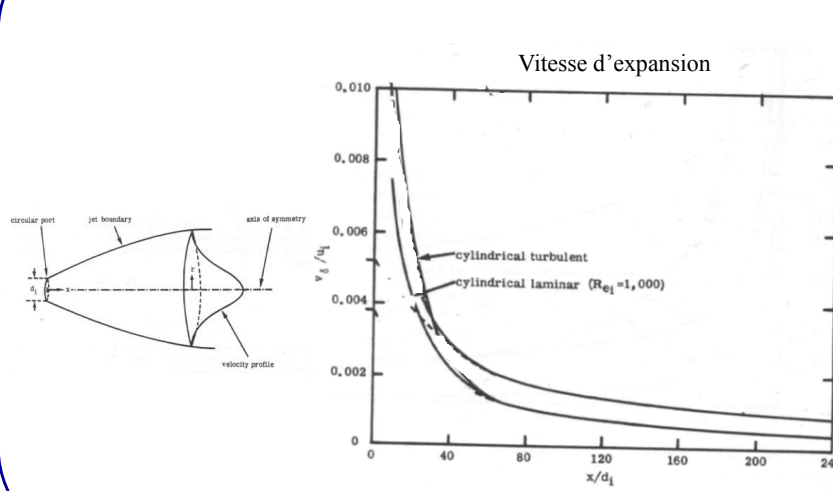


Comparaison entre un jet circulaire et celui rectangulaire en régime laminaire



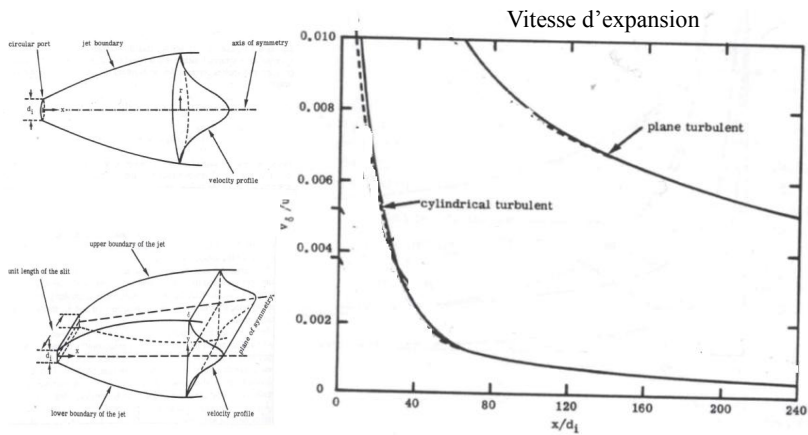
33

Comparaison entre un jet circulaire laminaire et celui turbulent



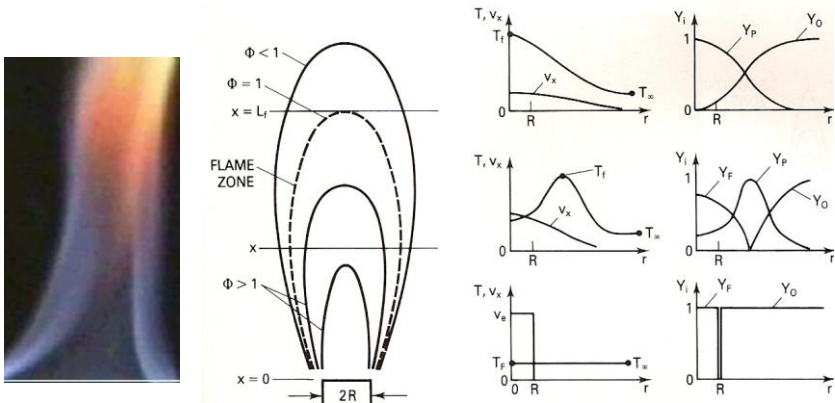
34

Comparaison entre un jet circulaire et celui rectangulaire en régime turbulent



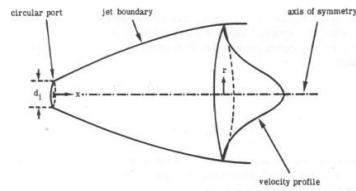
35

Description physique d'un jet réactif issu d'une buse circulaire (2D)



36

## Equations de conservation de base



8 hypothèses

- 1) Jet combustible, écoulement axisymétrique
- 2) Trois espèces : F, O et P
- 3) Réaction stoechiométrique, infiniment rapide
- 4) Transfert par diffusion binaire (loi de Fick)
- 5)  $Le = \alpha / D_{AB} \equiv 1$
- 6) On néglige le rayonnement
- 7) Diffusion radiale importante, diffusion axiale négligé
- 8) Axe de la flamme ouverte

37

$$Le = \alpha / D_{AB} \equiv 1$$

$$\alpha = \nu = D_o = D_F = D_P = D$$

Conservation de l'énergie

$$ru \frac{\partial(T - T_\infty)}{\partial x} + rv \frac{\partial(T - T_\infty)}{\partial r} = (v + v_r) \frac{\partial}{\partial r} r \frac{\partial(T - T_\infty)}{\partial r} + \frac{\dot{q}'' r}{\rho C_p}$$

Conservation des espèces chimiques

$$ru \frac{\partial Y_i}{\partial x} + rv \frac{\partial Y_i}{\partial r} = (v + v_r) \frac{\partial}{\partial r} r \frac{\partial Y_i}{\partial r} + \frac{W_i \dot{q}'' r}{\rho}$$

$$j = F, O, P$$

38

Conservation des espèces chimiques (F, O, P)

$$ru \frac{\partial Y_F}{\partial x} + rv \frac{\partial Y_F}{\partial r} = (v + v_i) \frac{\partial}{\partial r} r \frac{\partial Y_F}{\partial r} + \frac{W_F r}{\rho}$$

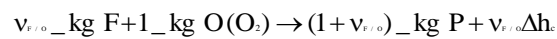
$$ru \frac{\partial (Y_O - Y_{Oe})}{\partial x} + rv \frac{\partial (Y_O - Y_{Oe})}{\partial r} = (v + v_i) \frac{\partial}{\partial r} r \frac{\partial (Y_O - Y_{Oe})}{\partial r} + \frac{W_O r}{\rho}$$

$$ru \frac{\partial [Y_P - (1 - Y_{Oe})]}{\partial x} + rv \frac{\partial [Y_P - (1 - Y_{Oe})]}{\partial r} = (v + v_i) \frac{\partial}{\partial r} r \frac{\partial [Y_P - (1 - Y_{Oe})]}{\partial r} + \frac{W_P r}{\rho}$$

$$Y_{N_2} = (1 - Y_{Oe})$$

39

Approximation de la flamme mince, infiniment rapide



$$-\frac{W_F}{v_{F/O}} = -\frac{W_O}{1} = +\frac{W_P}{1 + v_{F/O}} = +\frac{\dot{q}}{v_{F/O} \Delta h_c}$$

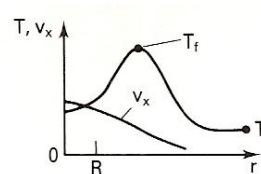
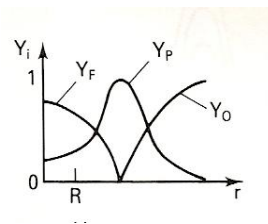
$$\frac{W_F}{v_{F/O}} + \frac{W_P}{1 + v_{F/O}} = 0$$

$$\frac{W_F}{v_{F/O}} + \frac{\dot{q}}{v_{F/O} \Delta h_c} = 0$$

$$W_O + \frac{W_P}{1 + v_{F/O}} = 0$$

$$W_O + \frac{\dot{q}}{v_{F/O} \Delta h_c} = 0$$

$$\frac{W_F}{v_{F/O}} - W_O = 0$$



40

$$\frac{\dot{W}_F}{v_{F/O}} + \frac{\dot{q}}{v_{F/O} \Delta h_c} = 0 \Rightarrow \dot{W}_F + \frac{\dot{q}}{\Delta h_c} = 0$$

$$ru \frac{\partial Y_F}{\partial x} + rv \frac{\partial Y_F}{\partial r} = (v + v_i) \frac{\partial}{\partial r} r \frac{\partial Y_F}{\partial r} + \frac{r}{\rho} \dot{W}_F$$

$$ru \frac{\partial C_p(T - T_\infty) / \Delta h_c}{\partial x} + rv \frac{\partial C_p(T - T_\infty) / \Delta h_c}{\partial r} = (v + v_i) \frac{\partial}{\partial r} r \frac{\partial C_p(T - T_\infty) / \Delta h_c}{\partial r} + \frac{r}{\rho} \frac{\dot{q}}{\Delta h_c}$$

$$ru \frac{\partial \phi_{FT}}{\partial x} + rv \frac{\partial \phi_{FT}}{\partial r} = (v + v_i) \frac{\partial}{\partial r} r \frac{\partial \phi_{FT}}{\partial r}$$

$$\phi_{FT} \equiv \left( Y_F + \frac{C_p(T - T_\infty)}{\Delta h_c} \right)$$

41

$$\phi_{FP} \equiv \left( Y_F + \frac{v_{F/O}}{1 + v_{F/O}} Y_F \right) - \frac{v_{F/O}}{1 + v_{F/O}} (1 - Y_{O\infty})$$

$$\phi_{OP} \equiv \left( Y_O + \frac{1}{1 + v_{F/O}} Y_P \right) - \left( \frac{1 + v_{F/O} Y_{O\infty}}{1 + v_{F/O}} \right)$$

$$\phi_{FO} \equiv \left( Y_O - \frac{Y_F}{v_{F/O}} \right) - Y_{O\infty}$$

$$\phi_{FT} \equiv \left( Y_F + \frac{C_p(T - T_\infty)}{\Delta h_c} \right)$$

$$\phi_{OT} \equiv \left( Y_O + \frac{C_p(T - T_\infty)}{v_{F/O} \Delta h_c} \right) - Y_{O\infty}$$

Equation de conservation générique

$$ru \frac{\partial \phi}{\partial x} + rv \frac{\partial \phi}{\partial r} = (v + v_i) \frac{\partial}{\partial r} r \frac{\partial \phi}{\partial r}$$

42

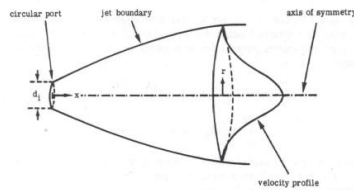
Conditions aux limites

$$x = 0, \quad 0 \leq r \leq d/2, \quad \phi = \phi_0$$

$$x = \infty, \quad 0 \leq r \leq \infty, \quad \phi = 0, \quad \frac{\partial \phi}{\partial r} = 0$$

$$r = 0, \quad 0 \leq x \leq \infty, \quad v = 0, \quad \frac{\partial \phi}{\partial r} = 0$$

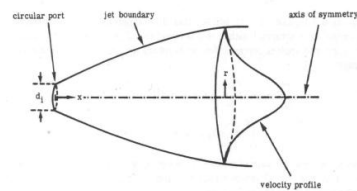
$$r \geq \delta, \quad 0 \leq x \leq \infty, \quad \phi = 0, \quad \frac{\partial \phi}{\partial r} = 0$$



43

Profils des variables :  $\frac{u}{u_i} \Rightarrow \frac{\phi_{FO}}{\phi_{FO,i}}, \frac{\phi_{FP}}{\phi_{FP,i}}, \frac{\phi_{OP}}{\phi_{OP,i}}, \frac{\phi_{FT}}{\phi_{FT,i}}, \frac{\phi_{OT}}{\phi_{OT,i}}$

Approche théorique :  $\frac{u}{u_i} = \frac{\phi}{\phi_i} = F(x, r)$



Jet circulaire en régime laminaire

$$F(x, r) = \left[ 1 + \frac{48}{Re_i} \frac{x}{d_i} \right]^{-1} \left[ 1 - 2 \frac{r}{d_i} \left( 1 + \frac{48}{Re_i} \frac{x}{d_i} \right)^{-1} \right]$$

Jet circulaire en régime turbulent

$$F(x, r) = \left[ 1 + 24C' \frac{x}{d_i} \right]^{-1} \left[ 1 - 2 \frac{r}{d_i} \left( 1 + 24C' \frac{x}{d_i} \right)^{-1} \right]$$

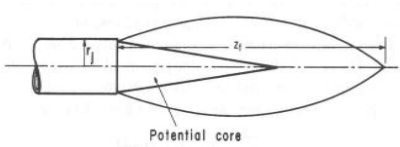
44

**LONGUEUR DE LA FLAMME (pilotée par la convection forcée)**

$$\phi_{ro} \equiv \left( Y_o - \frac{Y_F}{v_{F/o}} \right) - Y_{O\infty}$$

$$\phi_{ro, \text{ sto}} = -Y_{O\infty} \quad \text{et} \quad \phi_{ro, i} = -\left( \frac{1}{v_{F/o}} + Y_{O\infty} \right)$$

$$\frac{\phi_{ro, \text{ sto}}}{\phi_{ro, i}} = \frac{v_{F/o} Y_{O\infty}}{v_{F/o} Y_{O\infty} + 1} = F(\bar{x}_c, r_c)$$



$$r_c \rightarrow 0 \quad \Rightarrow \quad \bar{x}_c$$

**En régime laminaire**

$$\frac{v_{F/o} Y_{O\infty}}{v_{F/o} Y_{O\infty} + 1} = \left[ 1 + \frac{48}{Re_i} \bar{x}_c \right]^{-1}$$

$$\frac{\bar{x}_c}{d_i} = \frac{u_i d_i}{48 v Y_{O\infty} v_{F/o}} \equiv \frac{Re_i}{48 Y_{O\infty} v_{F/o}}$$

**En régime turbulent**

$$\frac{v_{F/o} Y_{O\infty}}{v_{F/o} Y_{O\infty} + 1} = \left[ 1 + 24 C' \frac{\bar{x}_c}{d_i} \right]^{-1}$$

$$\frac{\bar{x}_c}{d_i} = \frac{1}{24 C' v_{F/o} Y_{O\infty}}$$

45

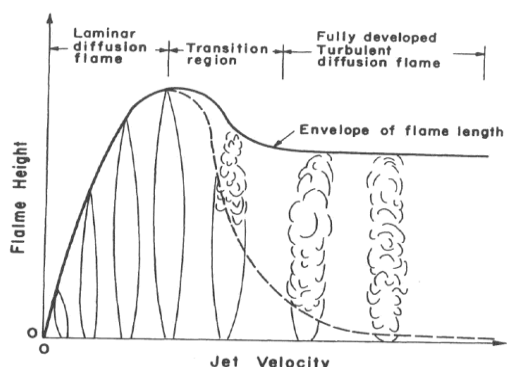
**Influence de la turbulence sur la longueur de la flamme**

**En régime laminaire**

$$\frac{\bar{x}_c}{d_i} = \frac{Re_i}{48 Y_{O\infty} v_{F/o}}$$

**En régime turbulent**

$$\frac{\bar{x}_c}{d_i} = \frac{1}{24 C' v_{F/o} Y_{O\infty}}$$



46

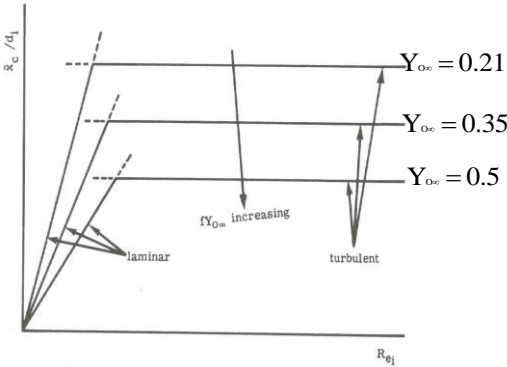
**Influence de la concentration en O<sub>2</sub> sur la longueur de flamme**

**En régime laminaire**

$$\frac{\bar{x}_c}{d_i} = \frac{Re_i}{48Y_{O_2}v_{F/O}}$$

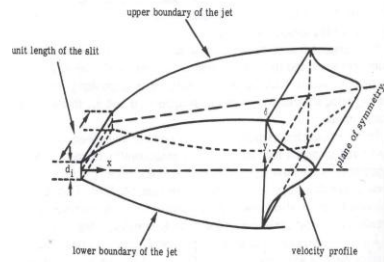
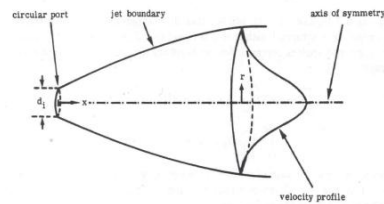
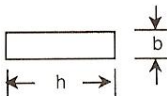
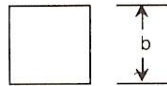
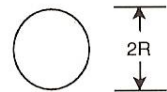
**En régime turbulent**

$$\frac{\bar{x}_c}{d_i} = \frac{1}{24C'v_{F/O}Y_{O_2}}$$



47

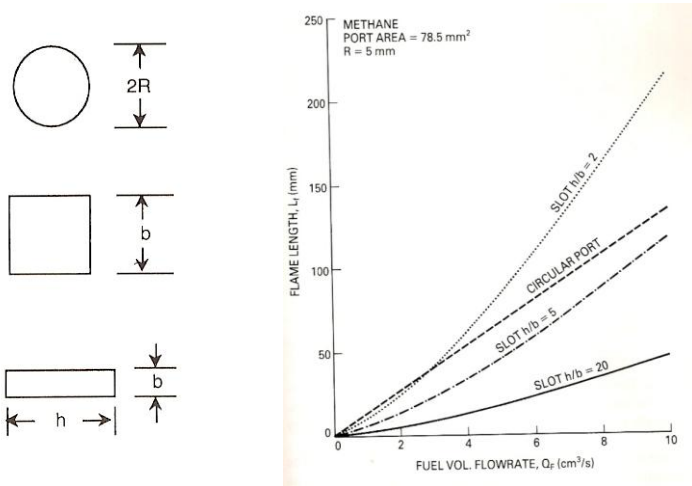
**Longueur de flamme pour brûleurs circulaires et en fente de surfaces de sortie identiques**



48



**Influences du débit massique et de la géométrie sur la longueur de flamme**



49

**Influence de la stœchiométrie sur la longueur de flamme**

**En régime laminaire**

$$\frac{\bar{x}_c}{d_i} = \frac{Re_i}{48Y_{O_2} v_{f/o}}$$

**En régime turbulent**

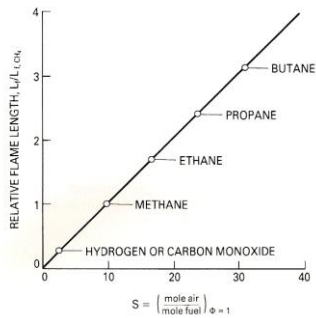
$$\frac{\bar{x}_c}{d_i} = \frac{1}{24C' v_{f/o} Y_{O_2}}$$

$L_f$  croît avec la diminution du rapport H/C (dépendance linéaire)



CO et  $H_2$  donnent les flammes les plus courtes

Longueur de flamme en fonction  
de la stœchiométrie  
pour différents combustibles  
et par rapport  $CH_4$



50

**Distribution de combustible à l'intérieur de la flamme**

$$\phi_{FO} \equiv \left( Y_O - \frac{Y_F}{v_{F/O}} \right) - Y_{O\infty}$$

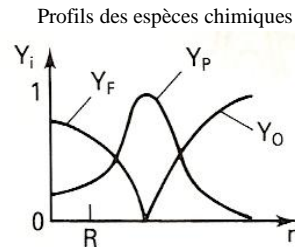
A l'intérieur de la flamme

$$(0 \leq |r| \leq r_c): \quad Y_O = 0 \Rightarrow \phi_{FO} \equiv -\left( \frac{Y_F}{v_{F/O}} + Y_{O\infty} \right)$$

Condition limites :  $x = 0, Y_O = 0$  et  $Y_F = 1$

$$\phi_{FO,i} = -\left( Y_{O\infty} + \frac{1}{v_{F/O}} \right)$$

$$\frac{\phi_{FO}}{\phi_{FO,i}} = \frac{Y_F + v_{F/O} Y_{O\infty}}{1 + v_{F/O} Y_{O\infty}} = F(x, r) \Rightarrow Y_F = (1 + v_{F/O} Y_{O\infty}) F(x, r) - v_{F/O} Y_{O\infty}$$



51

**Distribution d'oxygène à l'extérieur de la flamme**

$$\phi_{FO} \equiv \left( Y_O - \frac{Y_F}{v_{F/O}} \right) - Y_{O\infty}$$

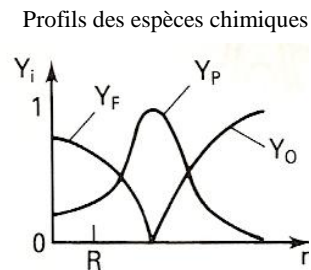
A l'extérieur de la flamme

$$(r_c \leq |r| \leq \delta): \quad Y_F = 0 \Rightarrow \phi_{FO} \equiv Y_O - Y_{O\infty}$$

Condition limites :  $x = 0, Y_O = 0$  et  $Y_F = 1$

$$\phi_{FO,i} = -\left( Y_{O\infty} + \frac{1}{v_{F/O}} \right)$$

$$\frac{\phi_{FO}}{\phi_{FO,i}} = \frac{Y_O - Y_{O\infty}}{-(1 + v_{F/O} Y_{O\infty}) / v_{F/O}} = F(x, r) \Rightarrow Y_O = Y_{O\infty} - \left( \frac{1 + v_{F/O} Y_{O\infty}}{v_{F/O}} \right) F(x, r)$$



52

### Distribution de produit à l'extérieur de la flamme

$$\phi_{FP} \equiv \left( Y_F + \frac{v_{F/O}}{1 + v_{F/O}} Y_P \right) - \frac{v_{F/O}}{1 + v_{F/O}} (1 - Y_{O\infty})$$

A l'extérieur de la flamme  $(r_c \leq |r| \leq \delta)$   $Y_F=0$

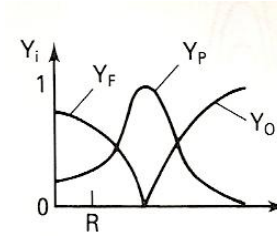
$$\phi_{FP} \equiv \frac{v_{F/O}}{1 + v_{F/O}} Y_P - \frac{v_{F/O}}{1 + v_{F/O}} (1 - Y_{O\infty})$$

Conditions limites à  $x = 0, Y_P = 0$  et  $Y_F = 1$

$$\phi_{FP,i} = \frac{1 + v_{F/O} Y_{O\infty}}{1 + v_{F/O}}$$

$$\frac{\phi_{FP}}{\phi_{FP,i}} = \frac{\frac{v_{F/O} Y_P}{1 + v_{F/O}} - \frac{v_{F/O} (1 - Y_{O\infty})}{1 + v_{F/O}}}{\frac{1 + v_{F/O} Y_{O\infty}}{1 + v_{F/O}}} = F(x, r)$$

$$Y_P = \left( \frac{1 + v_{F/O} Y_{O\infty}}{v_{F/O}} \right) F(x, r) + (1 - Y_{O\infty})$$



53

### Distribution de produit à l'intérieur de la flamme

$$\phi_{OP} \equiv \left( Y_O + \frac{1}{1 + v_{F/O}} Y_P \right) - \left( \frac{1 + v_{F/O} Y_{O\infty}}{1 + v_{F/O}} \right)$$

A l'intérieur de la flamme  $0 \leq |r| \leq r_c$   $Y_O=0$

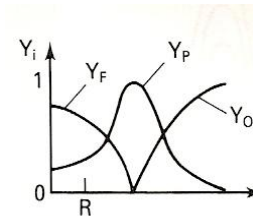
$$\phi_{OP} = \frac{Y_P}{1 + v_{F/O}} - \left( \frac{1 + v_{F/O} Y_{O\infty}}{1 + v_{F/O}} \right)$$

Conditions limites à  $x = 0, Y_O = 0$  et  $Y_P = 0$

$$\phi_{OP,i} = -\frac{1 + v_{F/O} Y_{O\infty}}{1 + v_{F/O}}$$

$$\frac{\phi_{OP}}{\phi_{OP,i}} = \frac{\frac{Y_P}{1 + v_{F/O}} - \frac{(1 + v_{F/O} Y_{O\infty})}{1 + v_{F/O}}}{-\frac{(1 + v_{F/O} Y_{O\infty})}{1 + v_{F/O}}} = F(x, r)$$

$$Y_P = (1 + v_{F/O} Y_{O\infty}) (1 - F(x, r))$$



54

### Profils de la température à l'intérieur de la flamme

$$\phi_{OT} \equiv \left( Y_o + \frac{C_p(T - T_\infty)}{v_{F/o}\Delta h_c} \right) - Y_{O\infty}$$

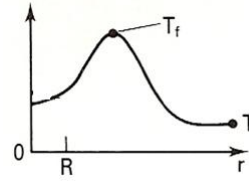
A l'intérieur de la flamme  $0 \leq |r| \leq r_c$   $Y_O=0$

$$\phi_{OT} = \frac{C_p(T - T_\infty)}{v_{F/o}\Delta h_c} - Y_{O\infty}$$

$$x=0, Y_o=0, \quad \phi_{OT,i} = \frac{C_p(T_i - T_\infty)}{(v_{F/o}\Delta h_c)} - Y_{O\infty}$$

$$\frac{\phi_{OT}}{\phi_{OT,i}} = \frac{\frac{C_p(T - T_\infty)}{v_{F/o}\Delta h_c} - Y_{O\infty}}{\frac{C_p(T_i - T_\infty)}{v_{F/o}\Delta h_c} - Y_{O\infty}} = F(x, r)$$

$$(T - T_\infty) = \left[ (T_i - T_\infty) - \frac{Y_{O\infty} v_{F/o} \Delta h_c}{C_p} \right] F(x, r) + \frac{Y_{O\infty} v_{F/o} \Delta h_c}{C_p}$$



55

### Profils de la température à l'extérieur de la flamme

$$\phi_{FT} \equiv \left( Y_F + \frac{C_p(T - T_\infty)}{\Delta h_c} \right)$$

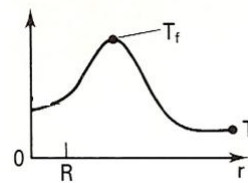
A l'extérieur de la flamme  $r_c \leq |r| \leq \delta$   $Y_F=0$

$$\phi_{FT} = \frac{C_p(T - T_\infty)}{\Delta h_c}$$

$$x=0, Y_F=1, \quad \phi_{FT,i} = \frac{C_p(T_i - T_\infty)}{\Delta h_c} + 1$$

$$\frac{\phi_{FT}}{\phi_{FT,i}} = \frac{\frac{C_p(T - T_\infty)}{\Delta h_c}}{\frac{C_p(T_i - T_\infty)}{\Delta h_c} + 1} = F(x, r)$$

$$(T - T_\infty) = \left[ (T_i - T_\infty) + \frac{\Delta h_c}{C_p} \right] F(x, r)$$



56

Température adiabatique de flamme

$$Y_F = \left( \frac{1 + v_{F/O} Y_{O\infty}}{v_{F/O}} \right) F(x, r) + (1 - Y_{O\infty})$$

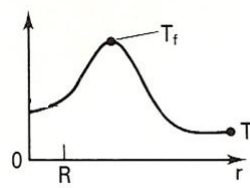
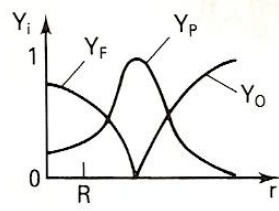
$$x = x_c, r = r_c \Rightarrow Y_F = Y_O = 0 \text{ et } Y_P = 1$$

$$F(x_c, r_c) = \frac{v_{F/O} Y_{O\infty}}{1 + v_{F/O} Y_{O\infty}}$$

$$(T - T_\infty) = \left[ (T_i - T_\infty) + \frac{\Delta h_c}{C_p} \right] F(x, r)$$

$$F(x, r) = F(x_c, r_c) \Rightarrow T_f$$

$$(T_f - T_\infty) = \left[ (T_i - T_\infty) + \frac{\Delta h_c}{C_p} \right] \frac{v_{F/O} Y_{O\infty}}{1 + v_{F/O} Y_{O\infty}} = \left[ (T_i - T_\infty) + \frac{\Delta h_c}{C_p} \right] f_{sto}$$



57

Jet liquide et vaporisation des gouttes dans une chambre de combustion

Diamètre dynamique du jet

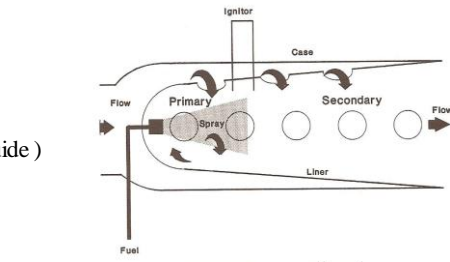
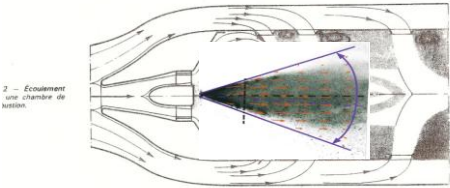
$$d_d = d_l \left( \frac{\rho_l}{\rho_a} \right)^n$$

n=0.5 pour un jet circulaire

n=1 pour un jet rectangulaire

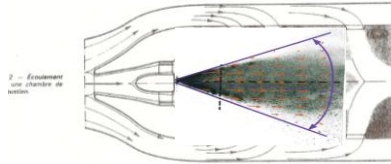
$\rho_l$  (masse volumique de liquide)

$\rho_a$  (masse volumique d'air)



58

### Longueur de flamme de type jet liquide issu d'une buse circulaire en régime turbulent



$$\frac{v_{F/O} Y_{O_2}}{v_{F/O} Y_{O_2} + 1} = \left[ 1 + 24C' \frac{\bar{x}_c}{d_i} \right]^{-1} \quad \text{Loin de la sortie du jet : } \frac{24C' \bar{x}_c}{d_i} \gg 1$$

$$\bar{x}_c \approx \frac{d_i}{24C'} \left( \frac{v_{F/O} Y_{O_2} + 1}{v_{F/O} Y_{O_2}} \right) = \frac{d_i}{24C'} (1 + v_{A/F}) = \frac{d_i}{24C'} \cdot \frac{1}{f_{sto}}.$$

59

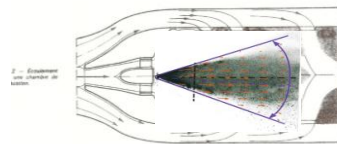
### Longueur d'évaporation des gouttelettes dans le jet

$$\frac{u}{u_i} = \left[ 1 + 24C' \frac{x}{d_i} \right]^{-1} \left[ 1 - \frac{2r}{d_i} \left( 1 + 24C' \frac{x}{d_i} \right)^{-1} \right]$$

Loin de la sortie du jet sur l'axe:  $\frac{24C' x}{d_i} \gg 1$  et  $r = 0$

Vitesse d'injection :  $\frac{u_m}{u_i} \approx \frac{d_i}{24C' x}$

$$u_m = \left( \frac{\partial x}{\partial t} \right)_{r=0} \Rightarrow \frac{x}{d_i} = \left( \frac{u t}{12C' d_i} \right)^{1/2}$$

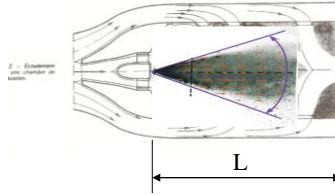


$$t_{tot} = t_{\text{évap}} + t_{\text{pré}} \approx \frac{D_0^2}{K} + \left[ \frac{\rho C_{pl}}{12k_g} \ln \left( \frac{T_g - T_0}{T_g - T_s} \right) \right] D_0^2$$

$$t \rightarrow t_{tot} \Rightarrow \frac{\bar{x}_b}{d_i} = \left( \frac{u t_{tot}}{12C' d_i} \right)^{1/2}$$

60

### Longueur de la chambre de combustion



$$\text{Longueur de flamme : } \frac{\bar{x}_c}{d_i} \approx \frac{1}{24C'} \left( \frac{v_{f/o} Y_{O_2} + 1}{v_{f/o} Y_{O_2}} \right) = \frac{1}{24C' f_{stoe}}$$

$$\text{Longueur d'évaporation des gouttes : } \frac{\bar{x}_b}{d_i} = \left( \frac{u t_{ot}}{12C' d_i} \right)^{1/2}$$

$$L = \max(\bar{x}_c, \bar{x}_b)$$

61

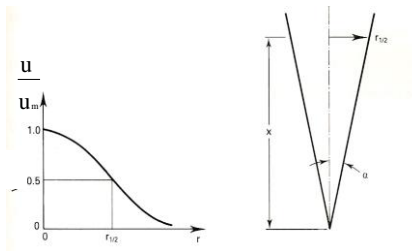
### Forme de jet circulaire en régime laminaire

Loin de la sortie du jet :

$$\frac{u}{u_m} = \frac{Re_i d_i}{48 x} \left[ 1 - 2 \left( \frac{r}{d_i} \right) \frac{Re_i d_i}{48 x} \right]$$

$$\frac{u_m}{u} = \frac{Re_i d_i}{48 x} \quad (\text{sur l'axe, } r=0)$$

$$\frac{u}{u_m} = \frac{1}{2} \Rightarrow \frac{r_{1/2}}{x}$$



$$\left\{ \begin{array}{ll} \frac{r_{1/2}}{x} = 12 Re_i^{-1} & \text{Rapport entre demi rayon et } x \\ \alpha = \tan^{-1} \left( \frac{r_{1/2}}{x} \right) & \text{Demi angle d'ouverture} \end{array} \right.$$

62

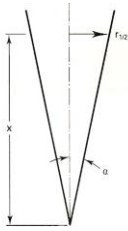
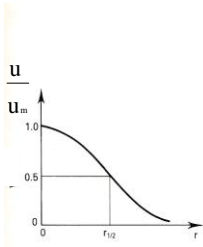
Forme de jet circulaire en régime turbulent

Loin de la sortie du jet :

$$\frac{u}{u_m} = \frac{1}{24C'} \frac{d_i}{x} \left( 1 - \frac{1}{12C'} \frac{r}{x} \right)$$

$$\frac{u_m}{u_m} = \frac{1}{24C'} \frac{d_i}{x} \quad (\text{sur l'axe, } r=0)$$

$$\frac{u}{u_m} = \frac{1}{2} \Rightarrow \frac{r_{1/2}}{x}$$



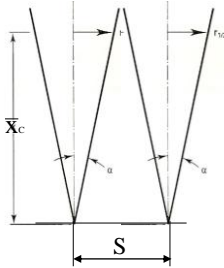
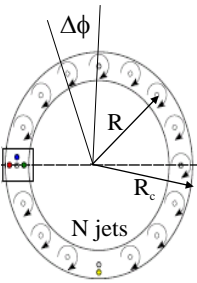
$$\left\{ \begin{array}{l} \frac{r_{1/2}}{x} \approx 0.077 \\ \alpha = \tan^{-1} \left( \frac{r_{1/2}}{x} \right) \approx 4.5^\circ \end{array} \right.$$

Rapport entre demi rayon et x

Demi angle d'ouverture

63

Interaction entre les jets



- 1)  $\bar{x}_c \approx \frac{d_i}{24C'} \left( \frac{v_{f/o} Y_{O_{\infty}} + 1}{v_{f/o} Y_{O_{\infty}}} \right)$

$\Rightarrow$  Distance entre les jets :  $S = 2\bar{x}_c \tan(\alpha)$
- 2)  $\Delta\phi(\text{rad}) = \frac{S}{R}$

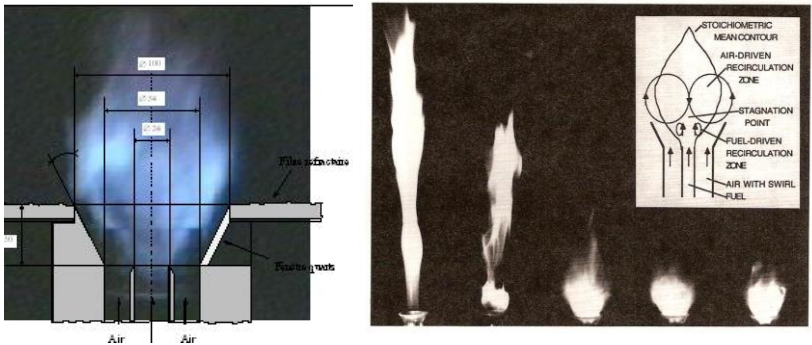
$\Rightarrow$  Nombre des jets :  $N = \frac{2\pi}{\Delta\phi}$
- 3)  $\dot{q} = \frac{\dot{Q}}{0.25\pi d_i^2 N} = \frac{\dot{m}_r \Delta h_c}{0.25\pi d_i^2 N}$

$\dot{q} \leq \dot{q}_{\text{max}}$  (puissance maximale de jet)

64



**STABILISATION DE LA FLAMME EN RÉGIME TURBULENT**  
**(Réduction de la longueur de flamme à l'aide**  
**des écoulements tourbillonnaires hélicoïdaux - Swirl)**

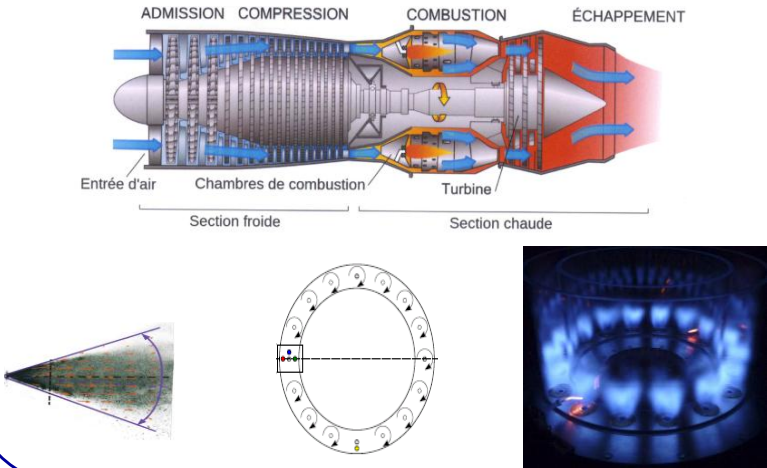


$$\overline{X}_{C, \text{ swirl}} \approx \frac{\overline{X}_c}{5}$$

65

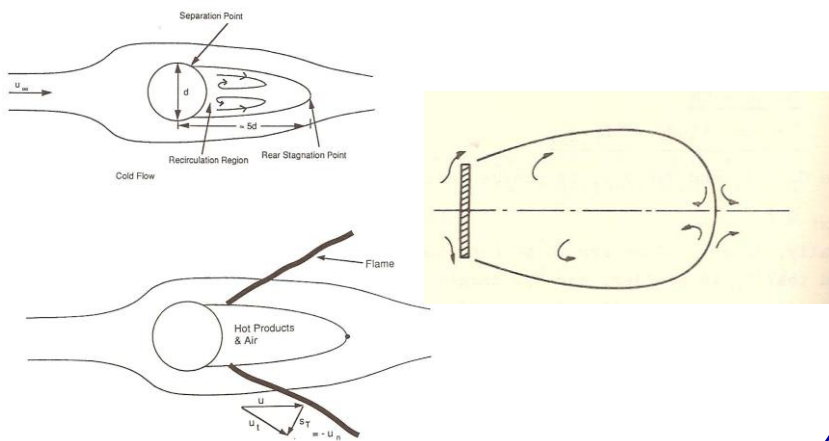
**Applications**

**Moteur aéronautique : chambre de combustion annulaire avec multiples jets**  
**en présence des écoulements tourbillonnaires hélicoïdaux (oxydant) - Swirl**



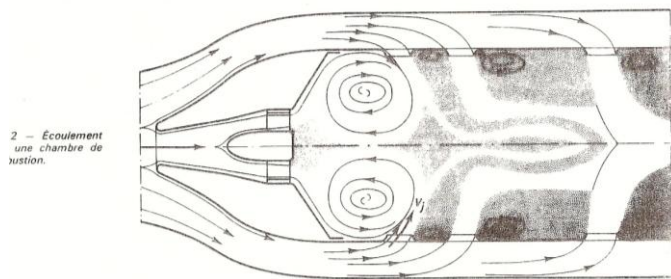
66

**STABILISATION DE LA FLAMME EN RÉGIME TURBULENT**  
**(Réduction de la longueur de flamme à l'aide de l'effet de sillage)**



67

**STABILISATION DE LA FLAMME EN RÉGIME TURBULENT**  
**(Réduction de la longueur de flamme à l'aide de l'élargissement brusque)**



68